

# ICNA - SESSION 2006

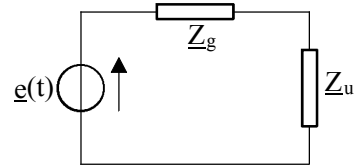
## ÉPREUVE OPTIONNELLE DE PHYSIQUE

### ÉNONCÉ

#### Questions liées.

[1,2,3,4,5,6,7,8]    [9,10,11,12,13,14]    [15,16,17,18,19,20,21]    [22,23,24,25,26,27]  
 [28,29,30,31,32]    [33,34,35,36,37,38,39,40]

1. Un générateur d'impédance interne  $\underline{Z}_g = R_g + jX_g$ , de force électromotrice sinusoïdale  $e(t) = E_0 \cos(\omega t)$ , de valeur maximale  $E_0$  et de pulsation  $\omega$ , de représentation complexe  $\underline{e}(t) = E_0 \exp(j\omega t)$ , alimente une charge d'impédance  $\underline{Z}_u = R_u + jX_u$  (figure ci-contre). Exprimer la puissance moyenne sur une période  $\mathcal{P}_u$  absorbée par la charge d'impédance  $\underline{Z}_u$ .



$$a) \mathcal{P}_u = \frac{R_g E_0^2}{2 \left[ (R_u + R_g)^2 + (X_u + X_g)^2 \right]}$$

$$b) \mathcal{P}_u = \frac{E_0 \sqrt{R_g^2 + R_u^2}}{2 \left[ (R_u - R_g)^2 + (X_u - X_g)^2 \right]}$$

$$c) \mathcal{P}_u = \frac{R_u E_0^2}{2 X_u \sqrt{(R_u - 2R_g)^2 + (X_u - 2X_g)^2}}$$

$$d) \mathcal{P}_u = \frac{R_u E_0^2}{2 \left[ (R_u + R_g)^2 + (X_u + X_g)^2 \right]}$$

2. Exprimer les conditions sur  $\underline{Z}_u$  pour que cette puissance ait une valeur maximale  $\mathcal{P}_{u\max}$ .

a)  $R_u = R_g$  et  $X_u = -X_g$

b)  $R_u = X_g$  et  $X_u = R_g$

c)  $R_u = -R_g$  et  $X_u = X_g$

d)  $R_u = 2R_g$  et  $X_u = 2X_g$

3. Calculer  $\mathcal{P}_{u\max}$ .

a)  $\mathcal{P}_{u\max} = \frac{E_0^2}{4X_g^2}$

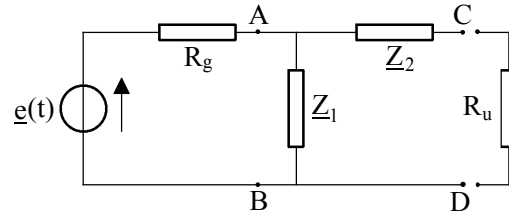
b)  $\mathcal{P}_{u\max} = \frac{E_0^2}{2R_g^2}$

c)  $\mathcal{P}_{u\max} = \frac{E_0^2}{8R_g}$

d)  $\mathcal{P}_{u\max} = \frac{E_0^2}{2\sqrt{R_g^2 + X_g^2}}$

4. On suppose maintenant que la partie imaginaire de l'impédance interne du générateur est nulle ( $X_g = 0$ ). Le générateur, de force électromotrice  $e(t)$

et de résistance interne  $R_g$ , est connecté sur les bornes d'entrée A et B du circuit ABCD représenté sur le schéma de la figure ci-contre. Le circuit est constitué d'éléments purement réactifs :  $\underline{Z}_1 = jX_1$  et  $\underline{Z}_2 = jX_2$ . Calculer l'amplitude complexe  $\underline{E}_{th}$  de la force électromotrice du générateur de Thévenin équivalent au circuit, du point de vue des bornes C et D quand aucune charge n'est branchée sur ces bornes.



a)  $\underline{E}_{th} = \frac{jE_0 X_1}{R_g + jX_1}$

b)  $\underline{E}_{th} = \frac{jE_0 X_1}{R_g + j(X_1 + X_2)}$

c)  $\underline{E}_{th} = \frac{jE_0 X_2}{R_g + j(X_1 + X_2)}$

d)  $\underline{E}_{th} = \frac{jE_0 X_2}{R_g + jX_2}$

5. Exprimer l'impédance interne  $\underline{Z}_{th}$  du générateur de Thévenin défini dans la question précédente.

$$\text{a) } \underline{Z}_{\text{th}} = \frac{jR_g(X_1 + X_2) - X_1X_2}{R_g + jX_1}$$

$$\text{b) } \underline{Z}_{\text{th}} = \frac{j(X_1 + X_2)^2 - X_1X_2}{R_g + j(X_1 + X_2)}$$

$$\text{c) } \underline{Z}_{\text{th}} = \frac{jR_gX_1 - X_1X_2}{R_g + j(X_1 + X_2)}$$

$$\text{d) } \underline{Z}_{\text{th}} = \frac{jX_1(R_g + X_2) - X_1X_2}{R_g + jX_2}$$

6. On branche un résistor de résistance  $R_u$  ( $R_u < R_g$ ) entre les bornes de sortie C et D du quadripôle. Calculer les valeurs de  $X_1$  et  $X_2$  pour lesquelles la puissance absorbée par  $R_u$  est maximale.

$$\text{a) } X_1 = R_g \sqrt{\frac{R_g + R_u}{R_u}} \text{ et } X_2 = -\sqrt{R_u(R_g + R_u)} \quad \text{b) } X_1 = R_g \sqrt{\frac{R_g}{R_g + R_u}} \text{ et } X_2 = -\sqrt{R_g(R_g + R_u)}$$

$$\text{c) } X_1 = R_u \sqrt{\frac{R_g - R_u}{R_u}} \text{ et } X_2 = \sqrt{R_g(R_g - R_u)} \quad \text{d) } X_1 = R_g \sqrt{\frac{R_u}{R_g - R_u}} \text{ et } X_2 = -\sqrt{R_u(R_g - R_u)}$$

7.  $\underline{Z}_1$  est l'impédance d'une bobine de coefficient d'auto-inductance  $L$  et  $\underline{Z}_2$  est l'impédance d'un condensateur de capacité  $C$ . Calculer les valeurs de  $C$  et de  $L$  sachant que  $\omega = 10^3 \text{ rad.s}^{-1}$ ,  $R_g = 10 \text{ k}\Omega$  et  $R_u = 1 \text{ k}\Omega$ .

$$\text{a) } C = 2,5 \mu\text{F} \text{ et } L = 112 \text{ mH}$$

$$\text{b) } C = 400 \text{ nF} \text{ et } L = 100 \text{ mH}$$

$$\text{c) } C = 333 \text{ nF} \text{ et } L = 3,33 \text{ H}$$

$$\text{d) } C = 0,5 \mu\text{F} \text{ et } L = 300 \text{ mH}$$

8. Calculer le rapport  $\eta$  de la puissance absorbée par  $R_u$  dans ces conditions sur la puissance qui serait absorbée par  $R_u$  si ce résistor était directement branché sur le générateur.

$$\text{a) } \eta = 3,0$$

$$\text{b) } \eta = 1,3$$

$$\text{c) } \eta = 2,5$$

$$\text{d) } \eta = 7,5$$

Dans le fonctionnement d'un moteur Diesel, tout se passe comme si un système fermé constitué de  $n$  moles de gaz parfait diatomique décrivait le cycle ABCD représenté sur le diagramme (*pression p, volume V*) de la figure ci-contre.

♦ La partie AB du cycle correspond à une compression adiabatique réversible du gaz.

♦ La partie BC correspond à une détente isobare irréversible du gaz se produisant lors de la combustion du carburant.

♦ La partie CD correspond à une détente adiabatique réversible du gaz.

♦ Enfin la partie DA correspond à un refroidissement isochore irréversible du gaz.

Les pressions aux points A et B du cycle valent respectivement

$$p_A = 10^5 \text{ Pa} \text{ et } p_B = 21,7 \cdot 10^5 \text{ Pa}.$$

Les températures aux points A et C du cycle valent respectivement  $T_A = 300 \text{ K}$  et  $T_C = 2176 \text{ K}$ .

Le volume du gaz au point A vaut  $V_A = 2,49 \cdot 10^{-3} \text{ m}^3$ .

On désigne par  $\gamma = \frac{c_p}{c_v} = 1,4$  le rapport des capacités thermiques molaires à pression constante  $c_p$  et volume constant  $c_v$ .

9. Calculer la température  $T_B$  correspondant au point B du cycle.

$$\text{a) } T_B = 723 \text{ K}$$

$$\text{b) } T_B = 1320 \text{ K}$$

$$\text{c) } T_B = 543 \text{ K}$$

$$\text{d) } T_B = 631 \text{ K}$$

10. Calculer la température  $T_D$  correspondant au point D du cycle.

$$\text{a) } T_D = 1702 \text{ K}$$

$$\text{b) } T_D = 796 \text{ K}$$

$$\text{c) } T_D = 1404 \text{ K}$$

$$\text{d) } T_D = 986 \text{ K}$$

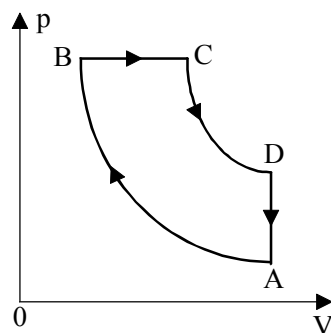
11. Calculer la quantité de chaleur  $Q_c$  échangée entre le gaz et le milieu extérieur au cours de la phase de combustion BC.

$$\text{a) } Q_c = 4,22 \text{ kJ}$$

$$\text{b) } Q_c = 78,70 \text{ kJ}$$

$$\text{c) } Q_c = 17,45 \text{ kJ}$$

$$\text{d) } Q_c = 31,17 \text{ kJ}$$



**12.** Calculer la quantité de chaleur  $Q_f$  échangée entre le gaz et le milieu au cours de la phase de refroidissement DA.

- a)  $Q_f = -2,29\text{kJ}$       b)  $Q_f = -18,34\text{kJ}$       c)  $Q_f = -44,30\text{kJ}$       d)  $Q_f = -7,56\text{kJ}$

**13.** Calculer l'efficacité thermodynamique  $\eta = \frac{-W}{Q_c}$  définie par le rapport changé de signe du travail

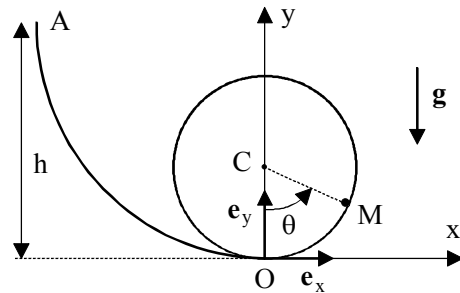
$W$  échangé entre le gaz et le milieu extérieur au cours d'un cycle et la quantité de chaleur  $Q_c$  mise en jeu au cours de l'opération de combustion BC.

- a)  $\eta = 0,46$       b)  $\eta = 0,53$       c)  $\eta = 0,61$       d)  $\eta = 0,76$

**14.** Calculer l'efficacité thermodynamique  $\eta_C$  d'un moteur décrivant de façon réversible un cycle de Carnot et fonctionnant entre deux sources de chaleur de température égales à  $T_A$  et  $T_C$ .

- a)  $\eta_C = 0,86$       b)  $\eta_C = 0,65$       c)  $\eta_C = 0,73$       d)  $\eta_C = 0,51$

Une bille assimilée à un point matériel  $M$  de masse  $m$ , est lâchée sans vitesse initiale depuis le point  $A$  d'une gouttière située à une hauteur  $h$  du point le plus bas  $O$  de la gouttière. Cette dernière est terminée en  $O$  par un guide circulaire de rayon  $a$ , disposé verticalement. La bille, dont on suppose que le mouvement a lieu sans frottement, peut éventuellement quitter la gouttière vers l'intérieur du cercle. On désigne par  $\mathbf{g} = -g\mathbf{e}_y$  l'accélération de la pesanteur (voir figure ci-contre).



**15.** Calculer la norme  $v_0$  de la vitesse de la bille en  $O$ .

- a)  $v_0 = \sqrt{2gh}$       b)  $v_0 = \sqrt{gh}$       c)  $v_0 = 2gh$       d)  $v_0 = gh$

**16.** Exprimer la norme  $v_M$  de la vitesse de la bille en un point  $M$  quelconque du cercle repéré par l'angle  $\theta$ .

- a)  $v_M = \sqrt{2g(a(\sin\theta + 1) + 2h)}$       b)  $v_M = \sqrt{g(a(\sin\theta - 1) - h)}$   
 c)  $v_M = \sqrt{g(2a(\cos\theta + 1) + h)}$       d)  $v_M = \sqrt{2g(a(\cos\theta - 1) + h)}$

**17.** On désigne par  $\mathbf{e}_r = \frac{\mathbf{CM}}{\|\mathbf{CM}\|}$  le vecteur unitaire porté par le vecteur position  $\mathbf{CM}$  du point  $M$ . Écrire l'expression de la réaction  $\mathbf{R} = R\mathbf{e}_r$  du guide circulaire sur la bille.

- a)  $\mathbf{R} = -mg\left(\frac{h}{a} + 2\cos\theta - 1\right)\mathbf{e}_r$       b)  $\mathbf{R} = -mg\left(\frac{2h}{a} + 3\cos\theta - 2\right)\mathbf{e}_r$   
 c)  $\mathbf{R} = -mg\left(\frac{h}{2a} + 2\sin\theta - 1\right)\mathbf{e}_r$       d)  $\mathbf{R} = -mg\left(\frac{h}{a} + \sin\theta - 2\right)\mathbf{e}_r$

**18.** Déterminer la hauteur minimale  $h_{\min}$  à partir de laquelle il faut lâcher la bille sans vitesse initiale pour qu'elle ait un mouvement révolutif dans le guide.

- a)  $h_{\min} = \frac{3a}{2}$       b)  $h_{\min} = \frac{5a}{2}$       c)  $h_{\min} = \frac{7a}{2}$       d)  $h_{\min} = 2a$

**19.** On lâche la bille sans vitesse initiale depuis une hauteur  $h_0 = 2a$ . Calculer, en degrés, la valeur  $\theta_0$  de l'angle  $\theta$  pour laquelle la bille quitte le guide.

- a)  $\theta_0 = 107,3^\circ$       b)  $\theta_0 = 99,6^\circ$       c)  $\theta_0 = 131,8^\circ$       d)  $\theta_0 = 183,1^\circ$

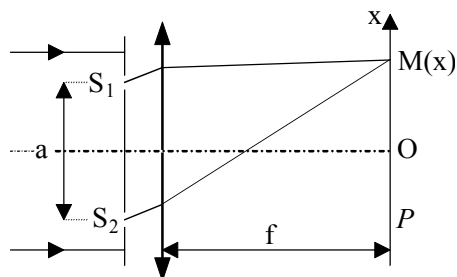
**20.** Calculer la valeur  $v_{0x}$  de la composante suivant l'axe  $Ox$  de la vitesse de la bille au moment où elle quitte le guide.

- a)  $v_{0x} = -\frac{2}{3}\sqrt{\frac{2ga}{3}}$       b)  $v_{0x} = -\frac{3}{2}\sqrt{\frac{3ga}{2}}$       c)  $v_{0x} = -\frac{1}{3}\sqrt{\frac{ga}{3}}$       d)  $v_{0x} = -\frac{5}{2}\sqrt{\frac{5ga}{3}}$

21. Calculer la valeur maximale  $h_M$  de la hauteur atteinte dans ces conditions par la bille après qu'elle ait quitté le guide.

- a)  $h_M = \frac{50}{27}a$       b)  $h_M = 2a$       c)  $h_M = -\frac{47}{32}a$       d)  $h_M = -\frac{38}{29}a$

22. Une onde lumineuse monochromatique plane, d'amplitude  $\psi_0$ , de longueur d'onde dans le vide  $\lambda = 0,6\mu\text{m}$ , éclaire, sous incidence normale, un écran opaque percé de deux trous infiniment fins, distants de  $a = 6\text{ mm}$ . On observe les interférences produites par ces deux sources ponctuelles  $S_1$  et  $S_2$  dans le plan focal image d'une lentille mince convergente de distance focale image  $f = 1\text{ m}$  (voir figure ci-contre).



On désigne par M, tout point de l'axe Ox de l'écran d'observation, d'abscisse  $x$  et voisin de O. Exprimer l'éclairement  $\mathcal{E}_1(x)$  en M.

- a)  $\mathcal{E}_1(x) = 4\psi_0^2 \cos^2\left(\pi \frac{ax}{\lambda f}\right)$       b)  $\mathcal{E}_1(x) = 2\psi_0^2 \sin^2\left(\pi \frac{ax}{\lambda f}\right)$   
 c)  $\mathcal{E}_1(x) = 2\psi_0^2 \cos^2\left(2\pi \frac{ax}{\lambda f}\right)$       d)  $\mathcal{E}_1(x) = 4\psi_0^2 \sin^2\left(2\pi \frac{ax}{\lambda f}\right)$

23. Calculer numériquement la valeur  $i_0$  de l'interfrange.

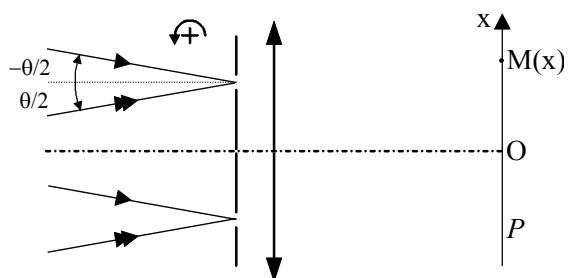
- a)  $i_0 = 0,30\text{ mm}$       b)  $i_0 = 0,10\text{ mm}$       c)  $i_0 = 0,50\text{ mm}$       d)  $i_0 = 0,20\text{ mm}$

24. L'onde plane arrive maintenant sous l'incidence  $\theta_0 = 50''$  d'arc. Exprimer le décalage  $d$  des franges correspondant à cette variation de l'angle d'incidence.

- a)  $d \approx 0,51\text{ mm}$       b)  $d \approx 0,24\text{ mm}$       c)  $d \approx 1,37\text{ mm}$       d)  $d = 0$

25. Le système reçoit maintenant deux ondes planes arrivants sous les incidences respectives  $\frac{\theta}{2}$

et  $-\frac{\theta}{2}$ . Ces ondes proviennent de deux sources monochromatiques indépendantes - donc mutuellement incohérentes - de même longueur d'onde dans le vide  $\lambda = 0,6\mu\text{m}$  et de même amplitude  $\psi_0$  (voir figure ci-contre).



Exprimer l'éclairement  $\mathcal{E}_2(x)$  en tout point  $M(x)$  de l'écran d'observation.

- a)  $\mathcal{E}_2(x) = 2\psi_0^2 \left(1 + \sin\left(\pi \frac{a\theta}{\lambda}\right) \cos\left(2\pi \frac{ax}{\lambda f}\right)\right)$       b)  $\mathcal{E}_2(x) = 4\psi_0^2 \left(1 + \sin\left(2\pi \frac{a\theta}{\lambda}\right) \cos\left(\pi \frac{ax}{\lambda f}\right)\right)$   
 c)  $\mathcal{E}_2(x) = 2\psi_0^2 \left(1 + 2\cos\left(\pi \frac{a\theta}{\lambda}\right) \sin\left(2\pi \frac{ax}{\lambda f}\right)\right)$       d)  $\mathcal{E}_2(x) = 4\psi_0^2 \left(1 + \cos\left(\pi \frac{a\theta}{\lambda}\right) \cos\left(2\pi \frac{ax}{\lambda f}\right)\right)$

26. Si  $k$  est un entier positif ou nul, les valeurs  $a_k$  de la distance  $a$  entre les trous qui correspondent à un brouillage complet des franges s'écrivent :

- a)  $a_k = \frac{\lambda}{\theta}(2k+1)$       b)  $a_k = \frac{\lambda}{\theta}\left(k + \frac{1}{2}\right)$       c)  $a_k = 2k \frac{\lambda}{\theta}$       d)  $a_k = k \frac{\lambda}{2\theta}$

27. La plus petite valeur de  $a$  pour laquelle les franges disparaissent est  $a_0 = 10\text{ mm}$ . Quelle est, dans ce cas, la valeur de  $\theta$  en secondes d'arc ?

- a)  $\theta = 6,2''$       b)  $\theta = 3,4''$       c)  $\theta = 12,5''$       d)  $\theta = 27,3''$



L'interrupteur K est fermé à l'instant  $t = 0$ , la barre étant initialement au repos et le condensateur déchargé.

Montrer que le courant  $i(t)$  qui circule dans la tige peut se mettre sous la forme :  $i(t) = I_0 \exp\left(-\frac{t}{\tau}\right)$ .

Exprimer  $\tau$ .

$$\text{a) } \tau = \frac{mRC}{m + CB^2a^2} \quad \text{b) } \tau = \frac{RC}{m + CB^2a^2} \quad \text{c) } \tau = \frac{RC}{1 + CBa^2} \quad \text{d) } \tau = \frac{RC}{C + B^2a^2}$$

34. Exprimer  $I_0$ .

$$\text{a) } I_0 = \frac{E}{2R} \quad \text{b) } I_0 = \frac{2E}{R} \quad \text{c) } I_0 = \tau \frac{E}{R^2C} \quad \text{d) } I_0 = \frac{E}{R}$$

35. Montrer que la vitesse  $v(t)$  de la tige peut s'écrire :  $v(t) = v_0 \left(1 - \exp\left(-\frac{t}{\tau}\right)\right)$ . Exprimer  $v_0$ .

$$\text{a) } v_0 = \frac{BaE\tau}{mR} \quad \text{b) } v_0 = \frac{BaE}{mR\tau} \quad \text{c) } v_0 = \frac{BaE\tau^2}{mR^2C} \quad \text{d) } v_0 = \frac{BaERC^2}{m\tau}$$

36. Calculer l'énergie  $\mathcal{E}_g$  fournie par le générateur entre les instants  $t = 0$  et  $t = \infty$ .

$$\text{a) } \mathcal{E}_g = \frac{2\tau E^2}{R} \quad \text{b) } \mathcal{E}_g = \frac{\tau E^2}{R} \quad \text{c) } \mathcal{E}_g = \frac{\tau E^2}{2R} \quad \text{d) } \mathcal{E}_g = \frac{\tau^2 E^2}{R^2 C}$$

37. Calculer l'énergie  $\mathcal{E}_C$  emmagasinée par le condensateur entre les instants  $t = 0$  et  $t = \infty$ .

$$\text{a) } \mathcal{E}_C = \frac{\tau^2 E^2}{2R^2 C} \quad \text{b) } \mathcal{E}_C = \frac{\tau E^2}{2R} \quad \text{c) } \mathcal{E}_C = \frac{\tau E^2}{R} \quad \text{d) } \mathcal{E}_C = \frac{RC^2 E^2}{2\tau}$$

38. Calculer l'énergie  $\mathcal{E}_J$  dissipée sous forme de chaleur par effet Joule dans la résistance de la tige entre les instants  $t = 0$  et  $t = \infty$ .

$$\text{a) } \mathcal{E}_J = \frac{RC^2 E^2}{2\tau^2} \quad \text{b) } \mathcal{E}_J = \frac{\tau E^2}{R} \quad \text{c) } \mathcal{E}_J = \frac{\tau^2 E^2}{2R^2 C} \quad \text{d) } \mathcal{E}_J = \frac{\tau E^2}{2R}$$

39. Calculer le travail  $W$  des forces de Laplace entre les instants  $t = 0$  et  $t = \infty$ .

$$\text{a) } W = \frac{1}{2m} \left(\frac{BaE\tau}{R}\right)^2 \quad \text{b) } W = \frac{1}{m} \left(\frac{BaE}{R^2 C}\right)^2 \quad \text{c) } W = \frac{\tau}{2m} \left(\frac{BaE}{2R}\right)^2 \quad \text{d) } W = \frac{2m}{\tau} \left(\frac{BaE\tau}{RC}\right)^2$$

40. Effectuer un bilan d'énergie et montrer que l'on peut écrire :

$$\text{a) } W = \mathcal{E}_g + \mathcal{E}_J + \mathcal{E}_C \quad \text{b) } \mathcal{E}_C = \mathcal{E}_g + \mathcal{E}_J + W \quad \text{c) } \mathcal{E}_J = \mathcal{E}_g + \mathcal{E}_C + W \quad \text{d) } \mathcal{E}_g = \mathcal{E}_C + \mathcal{E}_J + W$$